# Durée 4h

N.B.: Le candidat attachera la plus grande importance à la **clarté**, à la **précision** et à la **concision** de la **rédaction**. Si un candidat est amené à repérer ce qui peut lui sembler être une erreur d'énoncé, il le signalera sur sa copie et devra poursuivre sa composition en expliquant les raisons des initiatives qu'il a été amené à prendre.

#### RAPPEL DES CONSIGNES

- Utiliser uniquement un **stylo noir ou bleu foncé non effaçable** pour la rédaction de votre composition ; **d'autres couleurs, excepté le vert**, peuvent être utilisées, mais exclusivement pour les **schémas** et la **mise en évidence des résultats**.
- Ne pas utiliser de correcteur.
- Numéroter les copies : "i/nombre total".
- Respecter les notations de l'énoncé et préciser, dans chaque cas, la numérotation de la question posée.
- Écrire le mot FIN à la fin de votre composition.

# Le sujet comprend un document réponse p.16 à rendre avec la copie.

# Ex 1 : Etude d'une pompe à chaleur

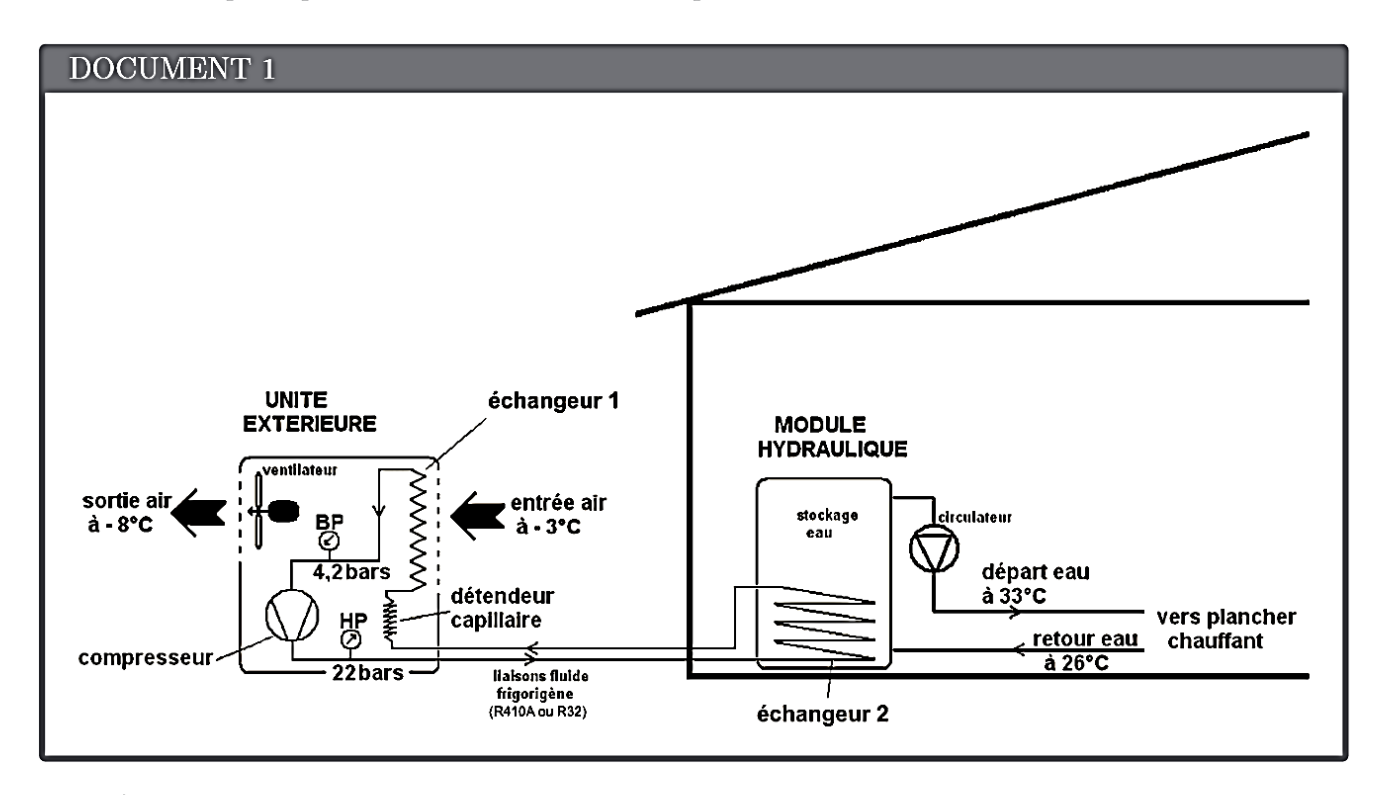
Dans le cadre de la rénovation énergétique des bâtiments afin de lutter contre le réchauffement climatique, il est préconisé l'installation de pompe à chaleur. En effet, ce dispositif permet d'effectuer des économies d'énergie pour le chauffage des habitations et la production d'eau sanitaire.

## PARTIE A: Modèle ditherme

- 1. Présenter sous forme de schéma annoté, le principe de fonctionnement d'une pompe à chaleur ditherme fonctionnant entre une source chaude thermostatée (de température  $T_C$ ) et une source froide thermostatée (de température  $T_F$ ).
- 2. On considère comme système thermodynamique le fluide de la pompe à chaleur. Préciser, en justifiant, les signes de  $Q_C$  transfert thermique reçu par le système de la part de la source chaude, de  $Q_F$  transfert thermique reçu par le système de la part de la source froide et de W travail mécanique reçu de la part du système mécanique sur un cycle de fonctionnement.
- 3. Définir l'efficacité (ou COP) de cette pompe à chaleur. L'exprimer en fonction uniquement des transferts thermiques  $Q_C$  et  $Q_F$ .
- 4. Déterminer l'expression de l'efficacité (ou COP) de la pompe à chaleur en fonction de  $T_C$  et  $T_F$  respectivement température de la source chaude et température de la source froide, de l'entropie créée au cours d'un cycle de fonctionnement que l'on notera  $S_c$  et de W. Donner son ordre de grandeur pour une machine réelle.
- 5. Représenter graphiquement l'évolution du COP en fonction de  $S_c$  (en considérant W,  $T_C$  et  $T_F$  constants).
- 6. Interpréter physiquement le cas  $S_c = 0$ .

# PARTIE B: Fonctionnement de la pompe à chaleur à fluide R410A

Le schéma de principe d'une telle installation est présenté dans le document 1.



7. À l'aide du Document 1, identifier la source chaude et la source froide ainsi que le système mécanique qui échange un travail avec le fluide de la pompe à chaleur.

On étudie dans cette partie le fonctionnement réel de la pompe à chaleur fonctionnant avec le fluide R410A. Cette pompe à chaleur est composé des organes thermodynamiques suivants: un compresseur, un condenseur (dans lequel a lieu une liquéfaction), un détendeur et un évaporateur. Le fluide R410A subit alors les transformations décrites dans le document 2.

### DOCUMENT 2

En régime permanent d'écoulement le fluide R410A subit les transformations suivantes:

- $1 \rightarrow 2$ : Le fluide à l'état gazeux sous la pression  $P_b = 4.2$  bars et à la température de -12 °C subit une compression isentropique jusqu'à la pression  $P_b = 22$  bars dans un compresseur;
- $2 \rightarrow 3$ : le gaz entre dans le condenseur où il y subit dans un premier temps un refroidissement isobare selon une désurchauffe, pour atteindre un état de vapeur juste saturante;
- $3 \to 4$ : toujours dans le condenseur, le fluide subit une liquéfaction jusqu'au liquide juste saturé à la pression  $P_h$ ;
- $4 \rightarrow 5$ : le liquide subit alors un sous-refroidissement isobare jusqu'à la température de 30 °C et sort du condenseur;
- $5 \rightarrow 6$ : le liquide entre dans le détendeur (adiabatique et sans partie mobile) pour y subir une détente jusqu'à la pression  $P_b$ ;
- $6 \rightarrow 7$ : le fluide entre dans l'évaporateur pour y subir une vaporisation totale à la pression  $P_b$  pour se retrouver sous forme de vapeur juste saturante;
- $7\to1$  : avant de sortir de l'éva porateur, la vapeur juste saturante subit une surchauffe avant de rentrer dans le compresseur.

DS2 CCINP 2/16 MP La Fayette

7bis. Enoncer le 1<sup>er</sup> principe pour un système en écoulement stationnaire à travers un organe thermodynamique à une entrée et une sortie.

Dans la suite on négligera les variations d'énergies cinétique et potentielle massiques devant la variation d'enthalpie massique.

Sur le document 1 figurent les deux échangeurs (échangeur 1 et échangeur 2) de la pompe à chaleur : l'un est le condenseur, l'autre est l'évaporateur.

- 8. Au contact de quelle source doit être mis le condenseur? Identifier l'échangeur, présent sur le document 1, concerné en justifiant la réponse.
- 9. Au contact de quelle source doit être mis l'évaporateur? Identifier l'échangeur, présent sur le document 1, concerné en justifiant la réponse.
- 10. En appliquant le premier principe à l'écoulement permanent à travers le détendeur en déduire la nature de la transformation subie par le fluide.
- 11. La transformation subie par le fluide dans le compresseur est considérée isentropique dans un premier temps. Comment peut-on justifier cette hypothèse?

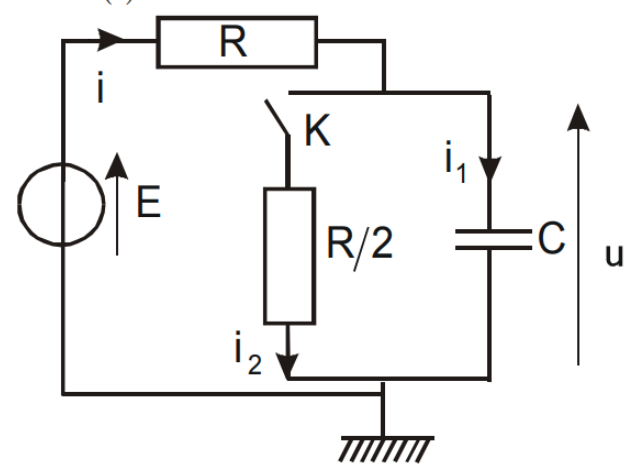
On fournit le diagramme enthalpique en annexe (à rendre avec la copie) du fluide R410A.

- 12. À l'aide du document 2 représenter les différents points du cycle effectué par le fluide R410A noté de 1 à 7 sur le diagramme fourni en annexe. On précisera le sens d'évolution le long de ce cycle.
- 13. Sans s'aider des isotitres figurant sur le diagramme fourni, déterminer le titre massique du seul point du cycle dans un état diphasique. Commenter.
- 14. Déterminer à l'aide du diagramme:
  - le travail massique indiqué reçu par le fluide de la part du compresseur;
  - le transfert thermique massique reçu par le fluide à la traversée du condenseur;
  - le transfert thermique massique reçu par le fluide à la traversée de l'évaporateur.
- 15. Quel est l'intérêt de la surchauffe?
- 16. Calculer l'efficacité de la pompe à chaleur fonctionnant avec le fluide R410A (on donnera le résultat avec deux chiffres significatifs). Quel est l'intérêt d'une pompe à chaleur par rapport à un chauffage électrique?
- 17. En réalité, la transformation subie par le fluide à la traversée du compresseur n'est pas isentropique. L'efficacité réelle vaut 90% de l'efficacité calculée à la question précédente et le reste du cycle est inchangé. Quelle est alors la température en sortie du compresseur?

## Ex 2 : Etude d'un circuit électrique

### 1. Régime transitoire

Nous considérons le circuit ci-dessous. Nous noterons i, l'intensité dans le résistor de résistance R,  $i_1$  l'intensité dans le condensateur de capacité C,  $i_2$  l'intensité dans le résistor de résistance R/2 et u(t) la tension aux bornes du condensateur. L'interrupteur est ouvert depuis très longtemps.



- A l'instant t = 0, pris pour origine des temps, nous fermons l'interrupteur K.
  - **B.1.1.** Préciser i,  $i_1$ ,  $i_2$  et u à l'instant  $t = 0^-$ , juste avant la fermeture de l'interrupteur.
  - **B.1.2.** Préciser i,  $i_1$ ,  $i_2$  et u à l'instant  $t = 0^+$ .
  - **B.1.3**. Même question quand *t* tend vers l'infini.
- **B.1.4.** Etablir l'équation différentielle vérifiée par u(t).
- **B.1.5.** Résoudre cette équation.
- **B.1.6.** Tracer l'allure de u(t).

### 2. Régime sinusoïdal forcé

L'interrupteur est fermé et nous remplaçons le générateur de f.e.m constante par une source idéale de tension de f.e.m.  $e(t) = E\sqrt{2}\cos(\omega t)$  où  $\omega$  représente la pulsation du générateur et E, la tension efficace. On associe le complexe  $\underline{u} = U\sqrt{2}\exp(j(\omega t + \varphi)) = \underline{U}\exp(j\omega t)$  à la tension  $u(t) = U\sqrt{2}\cos(\omega t + \varphi)$  où  $\underline{U} = U\sqrt{2}\exp(j\varphi)$ . De même,  $\underline{E} = E\sqrt{2}$ .

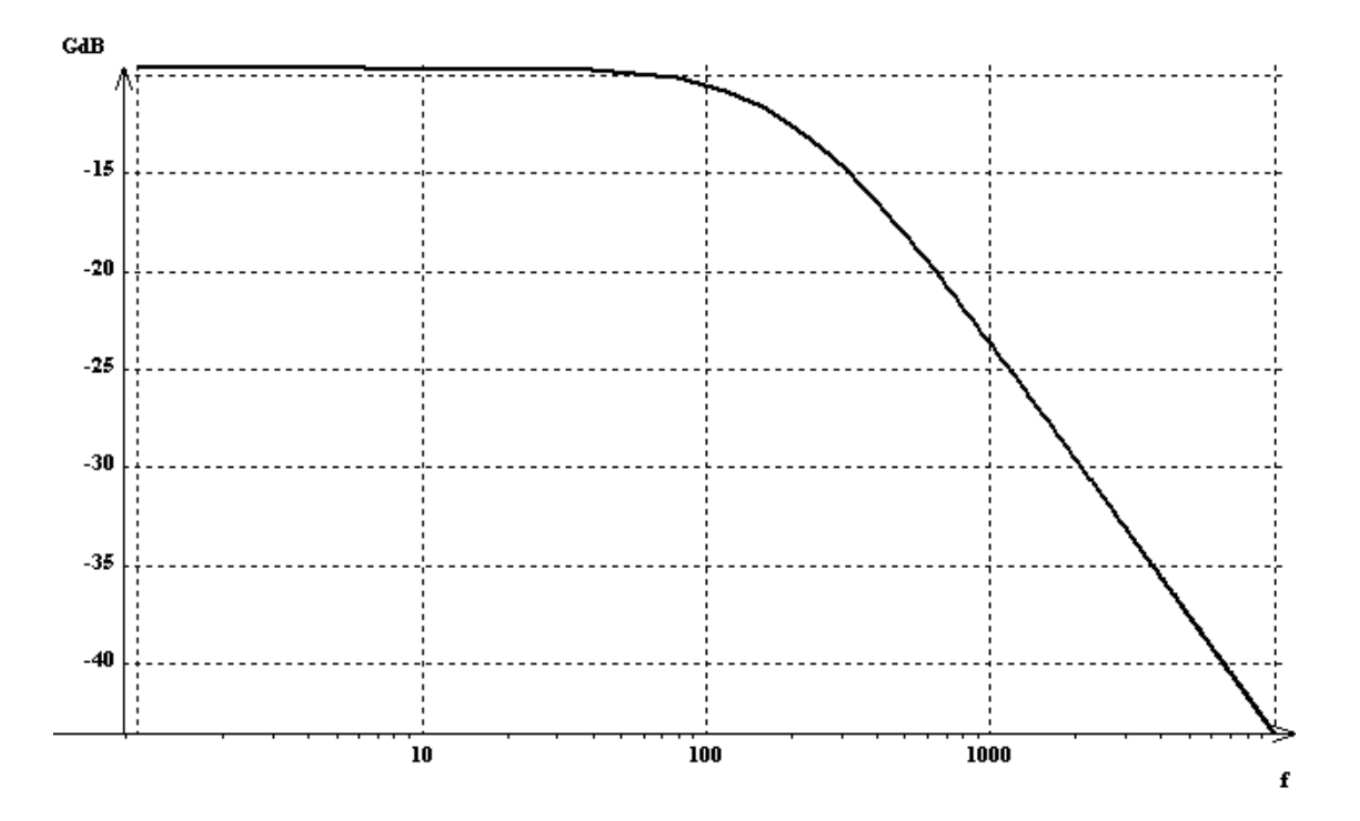
**B.2.1.** Calculer la fonction de transfert,  $\underline{H} = \frac{\underline{U}}{\underline{E}}$  que l'on écrira sous la forme  $\underline{H} = \frac{H_0}{1 + j \, \omega / \omega_0}$ . Préciser le module H et le déphasage  $\varphi$ .

**B.2.2**. Etablir l'expression littérale de la fréquence de coupure  $f_c$  en fonction de R et C.

**B.2.3.** Nous traçons le diagramme de Bode en fonction de la fréquence f en échelle semi-log.

**B.2.3.1.** On obtient le graphe ci-dessous. Déterminer graphiquement la valeur de  $f_c$  en précisant la méthode utilisée.

**B.2.3.2.** En déduire la valeur de la capacité C si  $R = 1,0 \text{ k}\Omega$ .



## Ex 3: Température du mouton

Cet exercice s'intéresse à un mammifère particulier, le mouton, un des tous premiers domestiqués par l'homme, entre le 11<sup>e</sup> et le 9<sup>e</sup> siècle avant J.-C. en Mésopotamie. C'est un animal clé dans l'histoire de l'agriculture.

On appelle bélier le mâle adulte, brebis la femelle adulte, agneau le jeune mâle et agnelle la jeune femelle.

Comme tous les ruminants, leur système digestif complexe leur permet de transformer la cellulose de leur alimentation en acides gras volatils et en glucides simples. À la belle saison, ils se nourrissent dans les pâturages d'herbe broutée au ras du sol et on leur donne du foin en hiver.

Jusqu'à nos jours, le mouton est utilisé pour ses produits laitiers, sa viande, sa laine et son cuir, de façon artisanale ou semi-industrielle. Sa viande et son lait ont été les premières sources de protéines consommées par l'homme dans le passage de la chasse-cueillette à l'agriculture.

Cet exercice étudie comment l'animal maintient sa température et son comportement social.

### Données

- L'opérateur gradient d'une fonction A(M,t) en situation unidimensionnelle vaut en coordonnées cartésiennes  $\overline{\operatorname{grad}(A(z,t))} = \frac{\partial A(z,t)}{\partial z} \overrightarrow{e_z}$  et en coordonnées sphériques  $\overline{\operatorname{grad}(A(r,t))} = \frac{\partial A(r,t)}{\partial r} \overrightarrow{e_r}$ .
- En coordonnées cartésiennes, l'opérateur divergence en situation unidimensionnelle vaut  $\operatorname{div}\left(\overline{A(z)}\right) = \frac{\operatorname{d}A(z)}{\operatorname{d}z}$ .

**Document** (vigiferme.org, pour le bien-être de l'animal et de l'éleveur, consulté en 2018)

#### Exposition à de basses températures

Les moutons sont naturellement adaptés pour supporter de très basses températures mais leur résistance au froid dépend de plusieurs facteurs : la race, l'âge, l'état du pelage...

Un mouton qui a une épaisse toison et qui est protégé de l'humidité pourra supporter des températures qui descendent en dessous de – 15 °C, un mouton tondu doit être protégé du froid. [...] Lorsque le temps est humide, que les températures sont basses et qu'il y a du vent, la situation est critique pour les moutons. Le plus important est qu'ils ne soient pas mouillés jusqu'à la peau. La laine de certaines races, lorsqu'elle est épaisse, peut repousser l'humidité plusieurs jours. C'est le cas des races de montagne mais pour d'autres, à la laine très fine, le pelage est moins protecteur.

Les moutons qui ont froid se serrent les uns contre les autres.

Les agneaux nouveau-nés sont très sensibles aux basses températures, au vent et à l'humidité. Leur fine couche de laine et de graisse ne les protège que très peu. Les brebis prêtes à mettre bas doivent être isolées en bergerie et y rester au moins deux semaines après la naissance. Le taux de mortalité des agneaux qui viennent de naitre atteint plus de 25 % dans certains élevages. Ils succombent le plus souvent dans les heures qui suivent leur naissance par hypothermie plutôt que par maladie.

.../...

Exposition à de hautes températures

Les moutons supportent mieux le froid que les températures élevées. Ils peuvent mourir d'un coup de chaleur. Ce risque est beaucoup plus élevé chez les moutons qui ne sont pas tondus, car la laine empêche la sueur de s'évaporer. C'est une des raisons pour laquelle il faut tondre les moutons au printemps.

Cas de la brebis non tondue	Confort sans adaptation ou adaptation facile	Adaptation difficile	Adaptation très difficile	Inadaptation pouvant entraîner la mort
Température extérieure	de – 8 °C à 25 °C	de – 15 °C à – 8 °C et de 25 °C à 35 °C	de – 30 °C à – 15 °C et de 35 °C à 40 °C	en dessous de – 30 °C et au-dessus de 40 °C

La température d'un mouton en bonne santé se situe entre 38,5 et 39,5 °C.

Sa longueur moyenne va de 1 m à 1,50 m.

La tonte a lieu 1 à 2 fois par an produisant 2 à 8 kg de laine par an.

Fin document

Nous allons essayer de construire un modèle thermodynamique pour expliquer comment la brebis maintient sa température de consigne  $\theta_{eq} = 39$  °C et mieux comprendre les éléments du **document** ci-dessus.

## I.1 - Propriétés de la toison de laine

La laine, matière première renouvelable, est une fibre aux propriétés uniques: flexible, légère, élastique, solide protégeant du chaud comme du froid, difficilement inflammable (s'enflamme à 600 °C), isolant phonique, absorbeur d'humidité, facile à teindre et 100 % biodégradable. La fibre de laine est à croissance continue avec de grandes écailles qui en font le tour. Les écailles se recouvrent peu et sont très saillantes. La section est circulaire. Sa substance est de la kératine, matière complexe association d'une vingtaine d'acides aminés. La laine a des affinités différentes avec l'eau qui font que la fibre s'enroule en frisures. Ces demières enferment une grande quantité d'air, ce qui limite la conduction. De plus, la kératine est hydrophile pour la vapeur d'eau mais hydrophobe pour l'eau liquide. L'adsorption d'eau (désorption d'eau) s'accompagne d'une production (dégagement) de chaleur par la fibre. Les fils de laine ont un diamètre qui varie de 20 µm pour les moutons Mérinos à 40 µm pour les races écossaises.

Une toison de laine va être caractérisée par une valeur de conductivité thermique  $\lambda_{laine}$  supposée homogène et une valeur de capacité thermique massique  $c_{laine}$ . On considèrera par la suite une laine « moyenne » caractérisée par une conductivité thermique  $\lambda_{laine} = 0.040 \text{ W} \cdot \text{m}^{-1} \cdot \text{K}^{-1}$ .

Q1. La loi de Fourier, relative à la diffusion thermique, traduit le lien entre la densité volumique de transfert thermique et le gradient de température :  $\overrightarrow{j_Q} = -\lambda \cdot \overrightarrow{\text{grad T}}$ .

Quelle est la dimension de la conductivité thermique  $\lambda$ ?

On considère un parallélépipède, de longueur L, de hauteur H et d'épaisseur e petite (e << min(L, H)), constitué d'un matériau homogène de conductivité  $\lambda$ , de masse volumique  $\mu$  et de capacité thermique massique c (**figure 1**). Le problème est supposé unidimensionnel, la température ne dépend que de la variable z et du temps t.

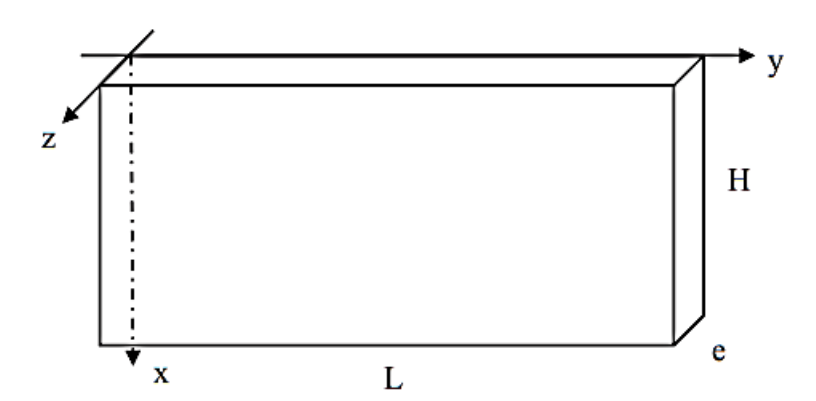


Figure 1 - Géométrie du conducteur thermique

Q2. Sur quelle direction est le vecteur densité  $\vec{j}_Q$  de courant thermique? De quelles variables dépend-il?

Les températures, sauf avis contraire, sont en °C.

- Q3. Faire un bilan énergétique sur la tranche de matériau comprise entre z et z + dz et en déduire l'équation différentielle à laquelle obéit la température T(z,t).
- Q4. Que devient-elle en régime stationnaire ? Le vecteur  $\overrightarrow{j_Q}$  dépend-il de z ?
- **Q5.** On suppose que le matériau est en présence de thermostats qui imposent à tout moment une température  $T_{entrée}$  en z = 0 et  $T_{sortie}$  en z = e. Que vaut la puissance thermique  $\varphi$  qui traverse le matériau en fonction de e,  $\lambda$ , H, L,  $T_{entrée}$  et  $T_{sortie}$ ?
- **Q6.** Définir puis exprimer la résistance thermique du matériau en fonction de ses caractéristiques géométriques et de sa conductivité. Que signifie, du point de vue thermique, mettre des résistances en parallèle et mettre des résistances en série ?

On peut mesurer expérimentalement la conductivité thermique de la laine à partir d'un échantillon de celle-ci par la méthode de la plaque chaude gardée (figure 2 ). L'échantillon est formé de deux « plaques » de laine identiques d'épaisseur e et de surface S séparées par une plaque chaude. Un même flux thermique  $\varphi$ , engendré par effet Joule dans un conducteur électrique inséré dans la plaque chaude, traverse les échantillons. Les plaques d'échantillon sont encadrées chacune par une plaque froide. Les températures  $T_c$ ,  $T_f$  des plaques chaude et froides sont mesurées en régime permanent par des thermocouples.

Q7. Exprimer l'expression de la conductivité  $\lambda_{\text{laine}}$  de l'échantillon en fonction de  $\varphi$ , e, S, T<sub>c</sub> et T<sub>f</sub>.

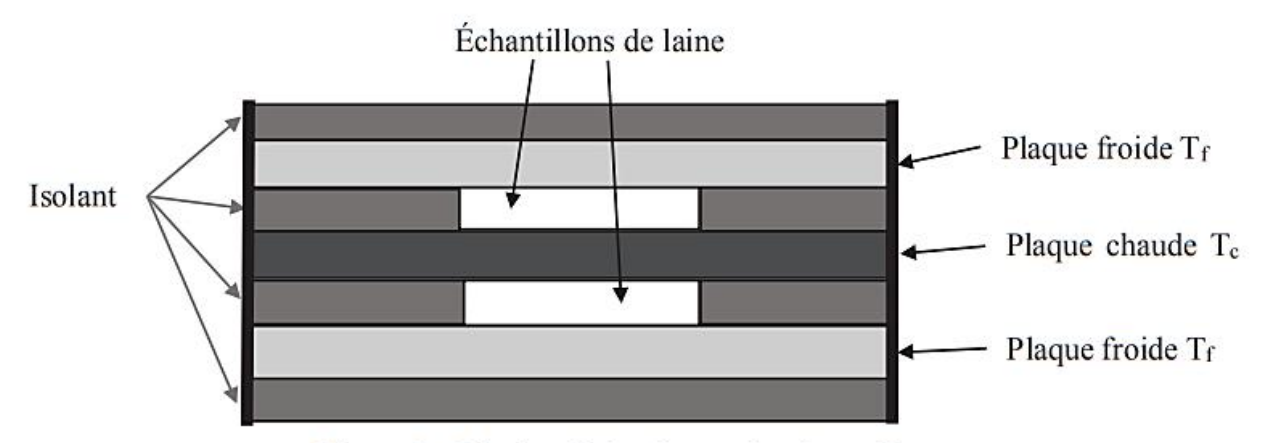


Figure 2 - Principe de la plaque chaude gardée

## I.2 - Équilibre thermique d'une brebis (situation de confort)

On modélise la brebis debout par un parallélépipède plein, de température uniforme  $\theta_{eq} = 39$  °C, de longueur L = 100 cm et de section carrée de côté H = 30 cm. Le corps de la brebis est entouré d'une épaisseur qui peut varier de  $e = e_M = 10$  cm de laine avant la tonte à  $e = e_m = 0,5$  cm après la tonte. La situation est représentée en **figure 3** et en **figure 4** 

Q8. Exprimer la résistance  $R_{diff}$  de cette carapace de laine en négligeant les effets de bords, en fonction de L, H, e et  $\lambda_{laine}$ . Évaluer son ordre de grandeur pour les deux épaisseurs limites.

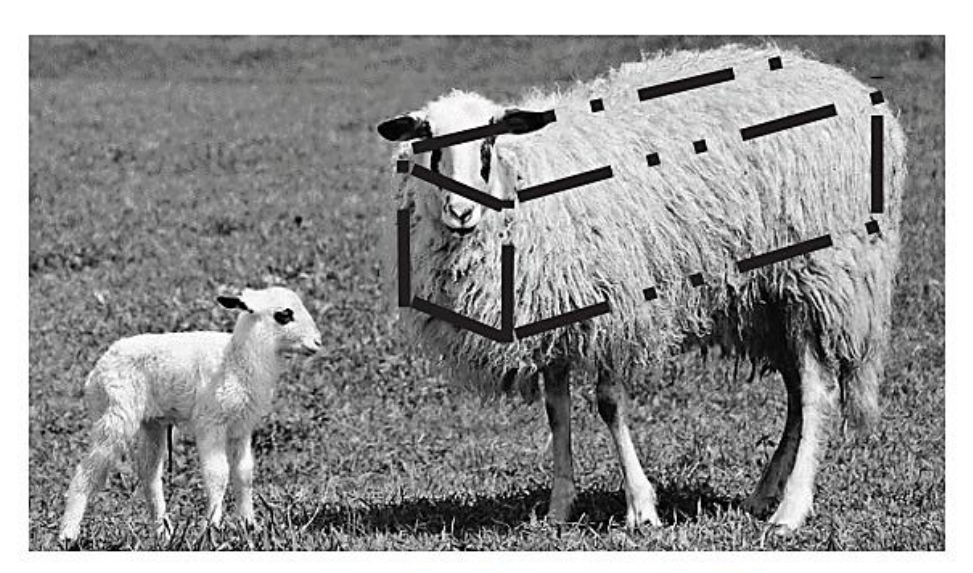


Figure 3 - Modélisation de la brebis

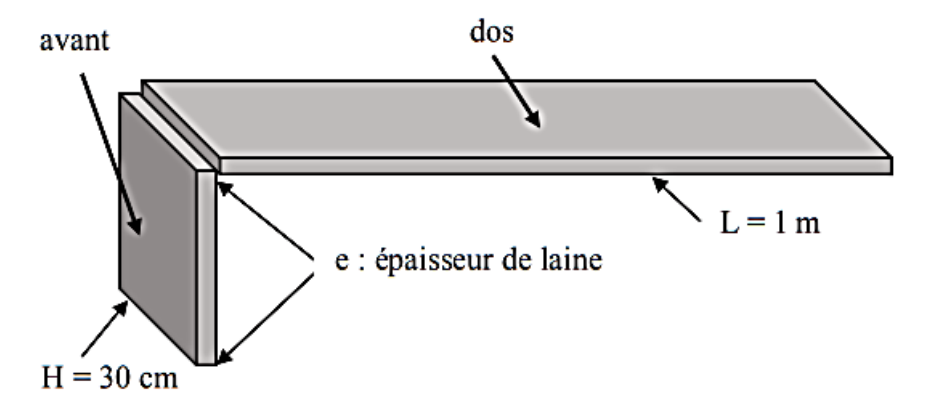


Figure 4 - Modélisation de la toison Seules les parties lainières du dos et de l'avant ont été schématisées.

On doit tenir compte de deux autres phénomènes d'échanges thermiques : la conducto-convection (d'autant plus importante que le vent est fort) et le rayonnement thermique toujours présent.

Q9. La loi de Newton, relative au phénomène de conducto-convection, correspond à un vecteur de densité thermique reçu par la brebis égal à

$$\overrightarrow{J_Q} = - h \cdot (T_{ext} - T_{air}) \vec{n}$$

avec  $T_{ext}$  la température de la surface extérieure de la brebis en contact avec l'air de température  $T_{air}$  et le vecteur unitaire normal  $\vec{n}$  orienté de la brebis vers l'extérieur.

On prendra un coefficient de Newton laine/air égal à  $h = 4.0 \text{ Wm}^{-2}\text{K}^{-1}$ .

En déduire en fonction de h, L et H la résistance de conducto-convection R<sub>cc</sub> à introduire dans notre modèle de brebis. Évaluer son ordre de grandeur.

Le phénomène de rayonnement introduit une résistance supplémentaire R<sub>r</sub>. Comme la température de l'air est assez proche de celle de l'animal, la puissance P<sub>r</sub> due au rayonnement thermique sortant de la surface extérieure de la brebis s'exprime sous la forme

$$P_r = KA(T_{ext} - T_{air})$$

avec A l'aire de la surface extérieure de la brebis,  $T_{ext}$  la température de cette surface en contact avec l'air de température  $T_{air}$ . La constante K a pour valeur  $K = 5.0 \text{ Wm}^{-2} \text{K}^{-1}$ .

- **Q10.** Exprimer la résistance thermique de rayonnement  $R_r$  en fonction de K, L et H.
- Q11. Faire un schéma du montage de ces trois résistances placées entre la température interne de la brebis  $T_{int} = \theta_{eq} = 39$  °C et la température de l'air  $T_{air}$ . Évaluer numériquement les deux valeurs  $R_1$  et  $R_2$  des résistances équivalentes de la brebis non tondue et de la brebis tondue.

La brebis non tondue est dans un confort climatique pour la température de l'air égale à  $T_0 = 5$  °C. En plus des phénomènes de diffusion, conducto-convection et rayonnement, il y a évaporation d'eau par sudation.

La brebis émet de la vapeur d'eau par les voies respiratoires en toute situation :

$$\dot{m} = 5,8 \cdot 10^{-6} \,\mathrm{g} \cdot \mathrm{s}^{-1}$$
.

Elle en émet deux fois plus par sa surface cutanée quand elle vient d'être tondue :

$$\dot{m}' = 2\dot{m}$$

et que la température extérieure est supérieure à 5,1 °C.

L'enthalpie massique standard de vaporisation de l'eau, supposée indépendante de la température, vaut  $\Delta H^0_{vap} = 2\,500 \text{ kJ} \cdot \text{kg}^{-1}$ .

- Q12. En déduire la puissance  $p_{m0}$  apportée à la brebis par son métabolisme dans une situation de confort juste avant la tonte. On l'exprimera en fonction de m, L,  $R_1$ ,  $T_{int}$  et  $T_{air}$ , puis on en fera l'évaluation numérique pour  $T_{air} = T_0 = 5$  °C.
- Q13. Répondre à la même question pour la brebis juste après la tonte pour la température de confort  $T_0 = 5$  °C.

# I.3 - Déséquilibre thermique d'une brebis (situations de stress et de danger)

La thermorégulation est due à des productions internes de chaleur (thermogenèse liée au métabolisme et à l'activité physique) et à des déperditions de chaleur au niveau de la respiration et de la peau (thermolyse).

Dans une situation où l'air environnemental est en dehors de la zone de confort, la brebis va se réchauffer ou se refroidir et éventuellement transpirer. On négligera la capacité thermique de la toison devant celle du corps de la brebis. On assimile la brebis à un volume d'eau de masse volumique  $\mu = 1\,000\,\mathrm{kg\cdot m^{-3}}$  et de capacité thermique massique  $c = 4\,200\,\mathrm{J\cdot K^{-1}\cdot kg^{-1}}$ . On admet que les variations de température sont suffisamment lentes pour utiliser les notions de résistances. On note  $p_{m}$  la puissance apportée par le métabolisme.

Q14. a) En appliquant le premier principe de la thermodynamique à la <u>brebis non tondue</u> dans une situation (1) où la température T<sub>air</sub> de l'environnement est différente de T<sub>0</sub> = 5 °C, montrer que l'équation différentielle relative à la température T(t) de la brebis s'écrit :

$$\frac{dT(t)}{dt} + \frac{1}{\tau_1} (T(t) - T_{air}) = \frac{(T_1 - T_{air})}{\tau_1}$$
.

On exprimera  $\tau_1$  en fonction de  $\mu$ , c, L, H,  $R_1$  et  $(T_1 - T_{air})$  en fonction de  $\theta_{eq}$ ,  $T_0$ ,  $R_1$  et  $(p_m - p_{m0})$ .

- **b)** Exprimer la température T(t) en fonction de t,  $T_1$ ,  $\tau_1$  et  $\theta_{eq}$  en supposant que la température initiale de la brebis est  $T(t=0) = \theta_{eq}$ .
- c) Calculer  $\tau_1$ . Calculer  $T_1$  en °C pour  $p_m = p_{m0}$  avec une température d'environnement égale à  $T_{air} = 17$  °C.
- Q15. D'après les données du **document** (pages 3 et 4), la <u>brebis non tondue</u> reste dans sa zone d'adaptation pour une température extérieure variant de 8 °C à + 15 °C. En déduire entre quelles limites peut varier la puissance apportée par le métabolisme de l'animal dans cette situation (1) sans qu'il y ait danger pour lui. On suppose donc que la brebis reste à sa température d'équilibre θ<sub>eq</sub> = 39 °C.

## Ex 4 : Oscillations au sein de l'atome de Thomson

#### Données

- Masse d'un électron :  $m_e \approx 10^{-30} \text{ kg}$ 

- Charge élémentaire :  $e = 1,6 \cdot 10^{-19}$  C

- Vitesse de la lumière dans le vide :  $c = 3.0 \cdot 10^8 \text{ m} \cdot \text{s}^{-1}$ 

- Perméabilité magnétique du vide  $\mu_0 = 4\pi \cdot 10^{-7} \, H \cdot m^{-1}$ 

- La permittivité du vide  $\varepsilon_0$  est telle que  $\frac{1}{4\pi\varepsilon_0} \approx 10^{10} \ SI$  et  $\frac{e^2}{4\pi\varepsilon_0} \approx 2 \cdot 10^{-28} \ J \cdot m$ 

Afin de donner une vision classique de l'émission d'un atome préalablement excité, nous allons étudier la réponse mécanique d'un électron à une excitation de l'atome.



Le modèle de l'atome d'hydrogène adopté ici est celui élaboré par Joseph Thomson (photo ci-contre), prix Nobel en 1906 pour avoir découvert l'électron en 1897. Il proposa en 1904 un modèle dit du « pudding aux électrons ».

### Il s'agit:

- d'une boule de centre O et de rayon a, avec  $a \approx 10^{-10} m$ , uniformément chargée en volume, de densité volumique de charge (uniforme à l'intérieur de la boule) notée  $\rho$ , de charge totale +e, considérée tout d'abord immobile dans le référentiel du laboratoire,
- et d'un électron ponctuel (masse m, charge e) libre de se déplacer sans frottement dans l'espace de la boule.

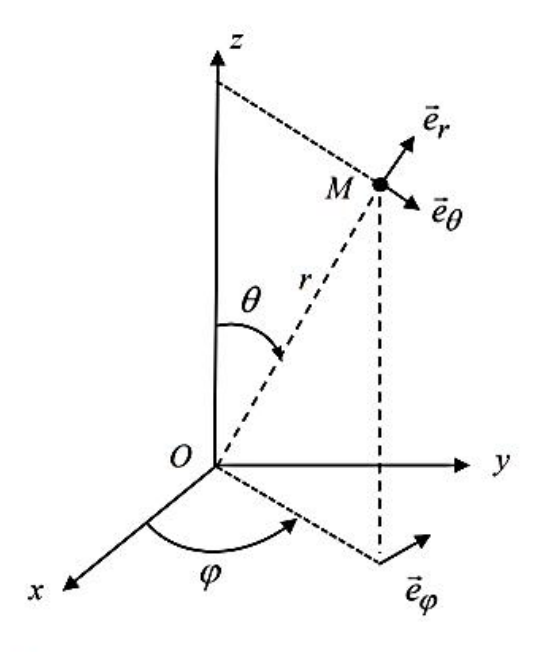


Figure 1 – Coordonnées et base sphériques

La position d'un point M de l'espace est parfois repérée par ses coordonnées cartésiennes (x, y, z) (sur la base  $(O, \vec{e}_x, \vec{e}_y, \vec{e}_z)$ ), ou par ses coordonnées sphériques  $(r, \theta, \varphi)$ , associées à la base  $(O, \vec{e}_r, \vec{e}_\theta, \vec{e}_\varphi)$ .

## II.1 - Force électrostatique ressentie par l'électron

**Q2.** Donner l'expression de la densité volumique de charge  $\rho$ .

Soit M un point quelconque de l'espace repéré par ses coordonnées sphériques :  $M(r,\theta,\varphi)$ .

- Q3. Montrer que le champ électrostatique en M s'écrit :  $\vec{E}(M) = E_r(r)\vec{e}_r$ .
- Q4. Déterminer en tout point M intérieur à la boule, le champ électrostatique  $\vec{E}(M)$  créé par la distribution de charge caractérisée par  $\rho$ .

L'électron se situe en un point  $M(r,\theta,\phi)$  intérieur à la boule. On le repère par son vecteur position  $\vec{r} = \overrightarrow{OM} = r \vec{e}_r$ . On suppose ici l'atome isolé et on néglige toute attraction gravitationnelle.

Q5. Donner la force ressentie par l'électron. Mettre cette force sous la forme  $\overline{F} = -m_e \omega_0^2 \overline{OM}$  où on donnera l'expression de  $\omega_0$ . Commenter l'expression de cette force.

## II.4 - Modélisation du mouvement de l'électron par une méthode numérique

La position instantanée r(t) de l'électron dans le repère défini sur la **figure 1** vérifie une équation différentielle dont la difficulté de résolution dépend de la modélisation physique choisie. Pour résoudre des équations différentielles complexes, on peut utiliser une méthode numérique. Pour illustrer cette méthode de résolution, on considère que r(t) obéit à l'équation différentielle

$$\frac{d^2r}{dt^2} + 2\lambda \cdot \frac{dr}{dt} + \omega_0^2 \cdot r = 0$$

avec  $\lambda$  et  $\omega_0^2$  des constantes positives non nulles.

L'objectif est d'obtenir une représentation graphique de la fonction r(t), la plus proche possible de la réalité.

On utilise une méthode numérique simple (connue sous le nom de « méthode d'Euler explicite ») que l'on programme en langage PYTHON.

Dans ce langage:

- la fonction np.arange(N) renvoie une liste de nombres entiers compris entre 0 et N-1, de type « array ».
- la fonction np.zeros(N) renvoie une liste de N valeurs toutes nulles, de type « array ».

Pour des raisons de commodité, les valeurs numériques utilisées ne correspondent pas à la réalité physique; les valeurs obtenues pour r(t) seront donc arbitraires (en revanche la forme de la courbe est réaliste).

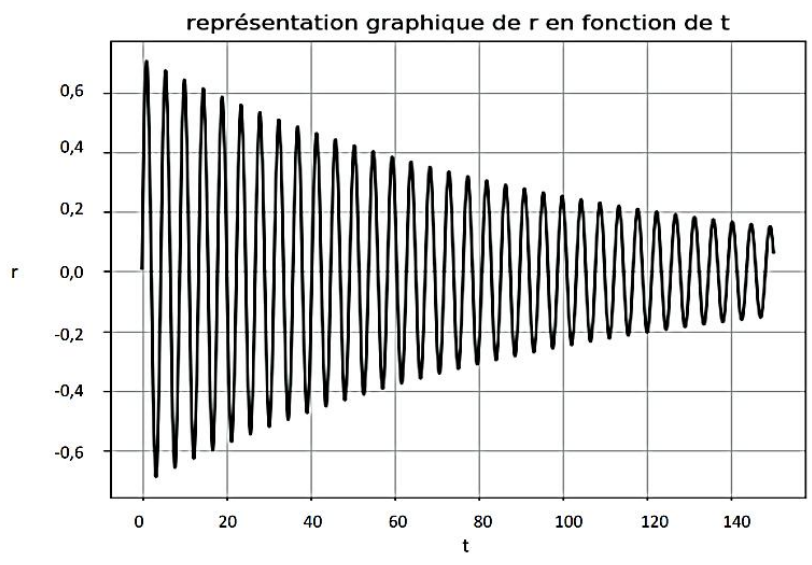
Le programme est le suivant :

```
import numpy as np
1
2
    from matplotlib import pyplot as plt
3
4
    T = 150
5
6
    omega = 1.4
7
    lamda = 0.03
8
9
    def euler (N, x0, v0):
10
        x = x0
11
        v = v0
12
        h = T/N
13
        a = -2*lamda*v-omega*omega*x
14
        tab 1 = np.zeros(N)
        tab 2 = np.zeros(N)
15
16
        for i in range(N):
17
             (x, v, a) = (x+v*h, v+a*h, -2*lamda*v-omega*omega*x)
            tab_1[i] = x
18
            tab 2[i]
19
20
        return tab 1
21
22
   def temps(N):
        h=T/N
23
24
        t = np.arange(N)*h
25
        return t
26
27
   plt.figure ('graphique')
28
   plt.plot(temps(15000),euler(15000,0,1),'b')
29
   plt.title("représentation graphique de r en fonction de t")
   plt.xlabel("t")
30
31
   plt.ylabel("r")
32 | plt.grid()
33 | plt.show()
```

L'exécution de ce programme permet d'obtenir la **courbe** r(t) ci-dessous (les échelles sont arbitraires).

Q14. Décrire, en détaillant les étapes, comment l'algorithme utilisé permet, connaissant les valeurs de la fonction  $r(t_n)$  et de sa dérivée  $\frac{dr}{dt}(t_n)$  à une date  $t_n$ , de calculer ces mêmes valeurs à une date notée  $t_{n+1}$ .

Quelle approximation est faite?



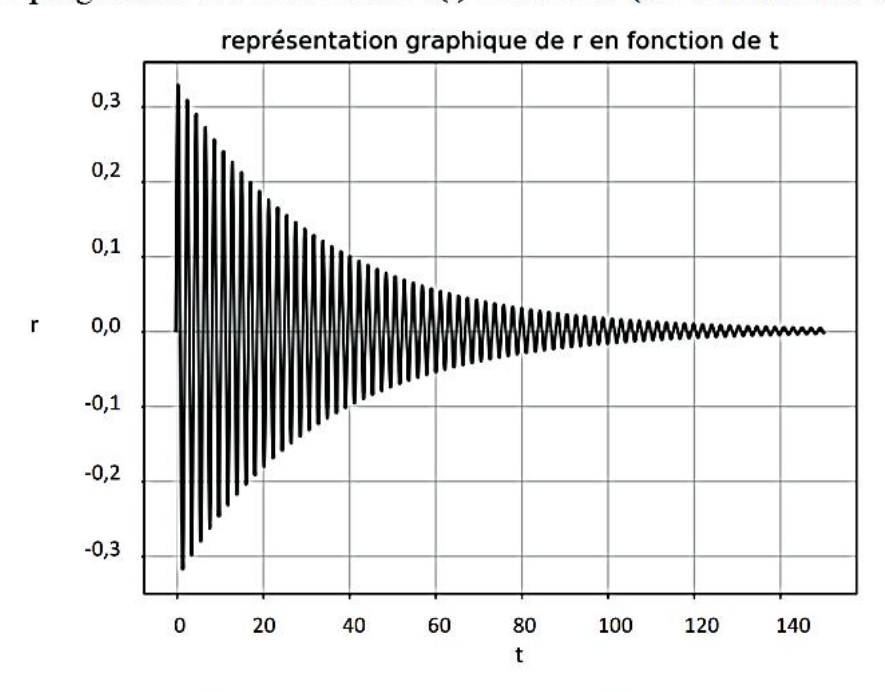
- Q15. Afin de tester la fonction *euler*, nous exécutons l'instruction « euler(3,0,1) ». Que retourne cette instruction ?
- Q16. Les lignes 16 à 19 contiennent une boucle itérative dans laquelle la commande « for » est utilisée. Modifier ces lignes de façon à utiliser la commande « while » en créant une boucle conditionnelle. La partie de programme écrite avec la boucle « while » doit produire exactement les mêmes résultats que la portion de code qu'elle remplace.

Afin de tester la méthode d'Euler, on rajoute les lignes de code suivantes, qui permettent de tracer la courbe donnant la solution exacte de la solution de l'équation différentielle. Le programme modifié est donné ci-après (à partir de la ligne 27).

Les lignes 1 à 26 ne sont pas modifiées.

```
27
   omega = # à compléter (voir Q17)
28
   def vraie(N, v0):
29
        x=0
        v=v0
30
31
        h=T/N
32
        tab 3=temps(N)
33
        for i in range(N):
34
            tab 3[i]=np.sin(np.sqrt(omega*omega-lamda*lamda)*h*i)
    *np.exp(-lamda*h*i)*v/(np.sqrt(omega*omega-lamda*lamda))
35
        return tab 3
36
37
   plt.figure ('graphique')
38
   plt.plot(temps(15000), vraie(15000,1),'b')
   plt.title("représentation graphique de r en fonction de t")
   plt.xlabel("t")
40
   | plt.ylabel("r")
41
   plt.grid()
43 | plt.show()
```

L'exécution de ce programme donne la courbe r(t) ci-dessous (les échelles sont arbitraires) :



- Q17. En exploitant la courbe, déterminer la valeur de la variable « omega » masquée à la ligne 27.
- Q18. La méthode d'Euler donne-t-elle une solution satisfaisante?

## NOM:

Ex 1 - Pompe à chaleur

